

発達過程にある河床波の挙動

京都大学工学部 正員 中川 博次
 京都大学工学部 正員 辻本 哲郎
 京都大学大学院 学生員 ○赤尾 恒博

1. まえがき 河床波の形成過程について、余程初期は個々の波それぞれの増幅(あるいは成長)が卓越するのに對し、その後は彼同志の統合を主体とする干渉作用が顯著で「局所的に集中した現象が水路全体に散在した様相」を呈し、その取り扱いには工夫を要す。この過程については従来よりの研究の蓄積も少なく、こゝでは図-1

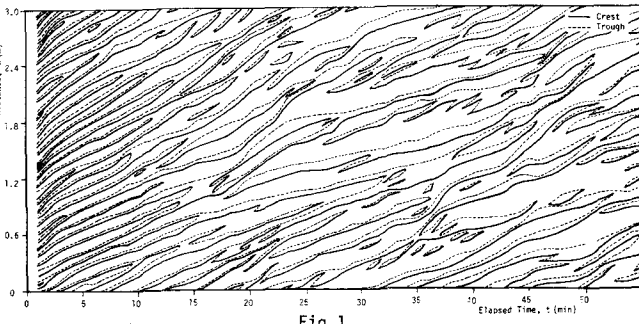


Fig.1

に示す走時曲線をもとに平坦な河床が次第に発達した河床波に変化していく様子を弁念に調べ、その素過程を探ることとした。

2. 河床波の発達過程

図-1に示す走時曲線は

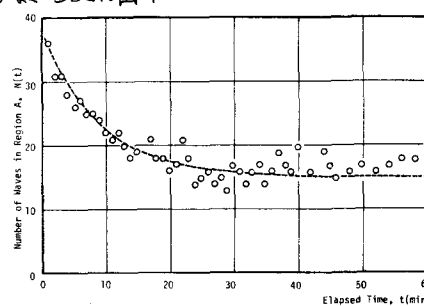


Fig.2

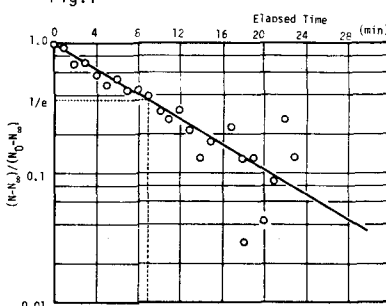


Fig.3

中央粒径 0.05 cm , 路床勾配 $1/500$, 単位幅流量 $q = 0.174 \text{ l/s/m}$ の条件での実験結果である。dunes の場合その発達過程は概ね相似とみなしてよく^{1), 2)}、その内部構造を調べるのに一つの条件の結果のみを抽出しても本質は損われないものと思われる。走時曲線に示した水路区間を区間Aとすると、河床波の発達・成長によつてこの区間内の波の個数 N が時間的に減少する。これを図-2, 3 に示した。なお図-3, 4 に波長変化と個数変化の対応を示してある。図-2より区間A内の波の個数の時間的変化は、

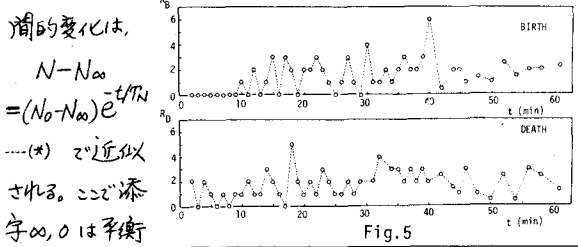


Fig.5

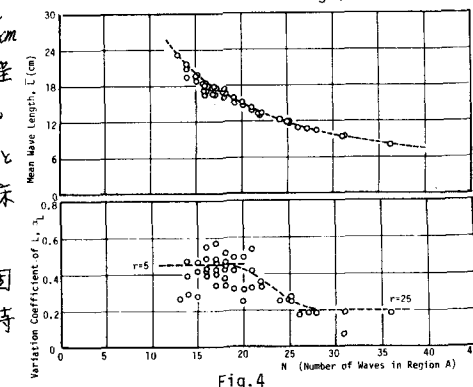


Fig.4

* Hiroji NAKAGAWA, Tetsuro TSUJIMOTO and Tsunehiro AKAO

Fig.6

値及び初期値を表わし、 T_N が発達の時間スケールである。式(*)より、
 $\frac{dN}{dt} = -(N - N_0)/T_N \dots (**)$ となる。一方、 $\frac{dN}{dt} = R_B - R_D + I - \theta \dots (***)$
 で、左辺はそれを単位時間あたり区間Aでの波の発生・消滅個数
 及び区間Aへの入出個数であり、これらとNの関係を調べることが意義
 深いと考えられる。いま単位時間(1分)に注目してこれらの時間的変化
 を調べたものが図5～8である。図6、7より式(***)の右辺で後3

の2項は negligible であることが知られ、河床波の成長過程を個数変化に着目する
 といふやうな発生・消滅過程としてモデル化しえることが期待される。

3. 区間Aでの波の発生・消滅過程

図8に示される1分当たり区間Aでの
 発生・消滅個数とNの関係は、まさに事象が
 確率的なためばらつきが大きくて傾向を読み取
 り難いが(数回の実験を繰り返してアンサン
 ブル平均を求めるのが望ましい)、とくに R_B については
 Nとともに減少することが認められる。これ
 らの関係の「なりたち」を考察するため、次に
 発生・消滅といった事象がどのような条件で生じるかを調べた。図9にはNの値
 が等しい時刻(1分ごとに測定値がある)につ
 いてこの資料をまとめて波長分布をヒストグラム表示した。そして1分以内にその波が
 消滅したものに■、その波の上に新しい波
 が生じた(分裂した)ものに■を付した。
 この結果消滅事象は波長の短かい波に、
 発生事象は波長の長い波に頻繁に生じること
 が認められる。すなはち波長の小さい波は合
 体湯く、長い波は分裂しやすいことが予想
 される。たとえばNが少しき程、長い波長の波
 の存在する確率は大きくそのため単位時間あたりの発生個数はNと
 ともに減少する。また R_D を支配する合体事象は波長による波速差
 に依存するところが大きい。このように R_B 、 R_D とNの関係は波長
 分布を媒介にして決定されることが予想され、こうした立場でのモ
 デル化が有力と判断される。

4. あとがき 上記の知見をもとに今後発生・消滅事象を波
 長の分布構造との関連でモデル化してゆきたいと考える。

<参考文献>
 1)中川・上本:京大防災研年報、1976 2)Yalin-Bishop: Proc. IAHR, 1977

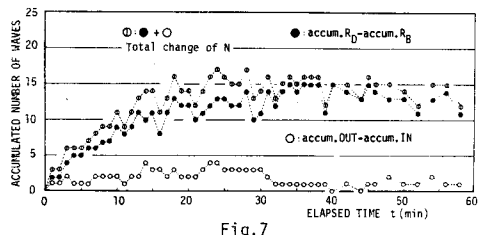


Fig.7

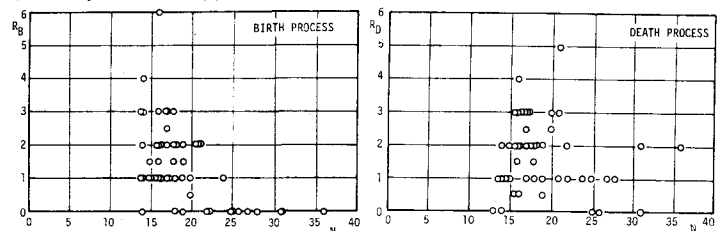


Fig.8

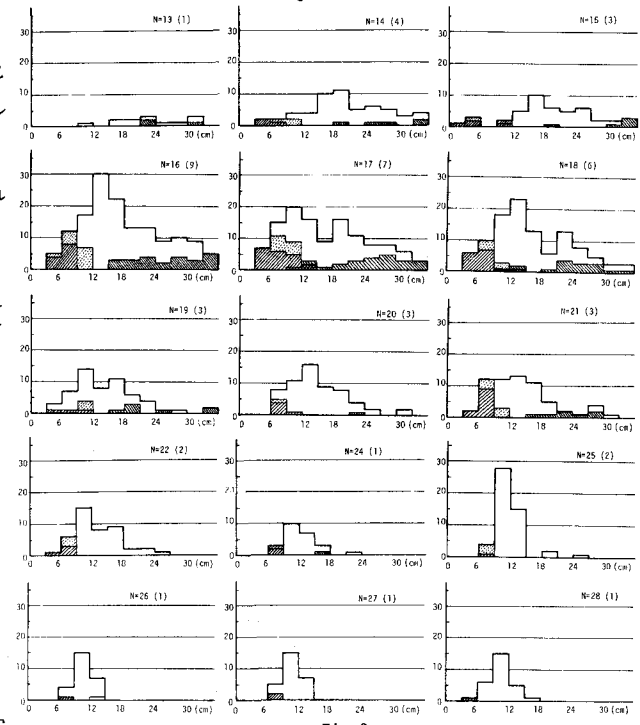


Fig.9

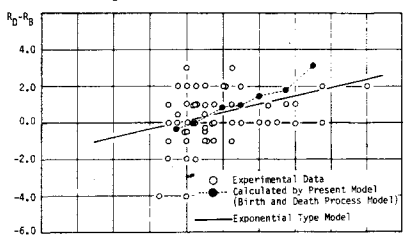


Fig.10